

Schémas uniformément stables dans l'asymptotique cinétique/fluides

M. Lemou

CNRS et Université de Rennes I,
Institut de mathématiques de Rennes (IRMAR),
Rennes, France
mlemou@univ-rennes1.fr

M. Bennoune
L. Mieussens

Université Paul Sabatier,
Institut de mathématiques de Toulouse (IMT).

With Acroread, **CTRL-L** switch
between full screen and window mode

Construire des schémas numériques pour un modèle décrivant un système de particules :

▣ Traverser une hiérarchie de modèles macroscopiques.

Modèle cinétique → Modèles de diffusion ou fluides : *Euler, Navier-Stokes*, etc. à paramètres numériques fixés.

▣ Coût de calcul réduit + Propriétés physiques (conservation, entropie ...)

Intérêt : Eviter la décomposition de domaines et le traitement des interfaces.

Quelques applications :

▣ Traversée d'une atmosphère par une sonde.

▣ Environnements de satellites.

▣ Plasmas.

1. **Modèles cinétiques** - limite fluide et de diffusion
2. Méthodes numériques stables pour le passage cinétique/Euler.
3. Stratégie générale et **décomposition micro/macro**
4. Application à la construction de schémas stable pour l'asymptotique **cinétique/Navier-Stokes**
5. Schémas stables pour la **limite de diffusion**, et **couches limites**.

$$\frac{\partial f}{\partial t} + v \cdot \nabla_x f + \mathcal{E} \cdot \nabla f = Q(f)$$

Q : **Opérateur de collision**, agit uniquement sur *la dépendance en vitesse* de f . En général non linéaire, non local (en vitesse) et de type integro-différentiel.

\mathcal{E} : **Force extérieure**, ou **intérieure** liée à f par les équations de Poisson ou de Maxwell.

Gaz neutres : Q = Opérateur de Boltzmann.

Plasmas : Gaz ionisés Q = Opérateur de Landau.

Modèle simplifié de relaxation : Modèle **BGK**

Applications : Plasmas, vent solaire, ionosphère → Environnements de satellites, Fusion thermonucléaire. Institutions industrielles : CEA, ESA, CNES ...

Quantités conservées, Invariants collisionnels :

$$\int_{\mathbb{R}^3} Q(f)(v)\phi(v)dv = 0, \quad \forall f \Leftrightarrow \phi(v) = A + B \cdot v + C|v|^2.$$

Entropie (Théorème H) : $\int_{\mathbb{R}^3} Q(f) \log f(v)dv \leq 0, \quad \forall f,$
 Egalité $\Leftrightarrow Q(f) = 0 \Leftrightarrow f$ est une Maxwellienne.

$$M_{\rho,u,T}(v) = \frac{\rho}{(2\pi T)^{3/2}} \exp\left(-\frac{|v-u|^2}{2T}\right).$$

Modèle simplifié : Modèle **BGK** :

$$Q(f) = \frac{1}{\varepsilon\tau}(M[f] - f), \quad M[f](t, x, v) = M(U)(t, x, v) = M_{\rho,u,T}(v)$$

$$U = \int f(1, v, |v|^2/2)dv = (\rho, \rho u, \frac{1}{2}\rho|u|^2 + \frac{d}{2}\rho T) = \langle m M(U) \rangle$$

$$\partial_t f + v \cdot \nabla_x f = Q(f)$$

⇒ Système à trois moments :

$$(\rho, \rho u, E) = \int f(t, x, v)(1, v, |v|^2/2)$$

$$\partial_t (\rho, \rho u, E) + \nabla_x \cdot \left(\rho u, \int f(t, x, v) v \otimes v dv, \int f(t, x, v) v |v|^2/2 dv \right) = 0.$$

Système **non fermé**, spécifier f en fonction de $(\rho, \rho u, E)$.

Fermeture = Fonction minimisant l'entropie à masse, impulsion et énergie fixés =

Maxwellienne $M_{\rho, u, T}$. **Système d'Euler**

⇒ Système de moments d'ordre supérieur (Ruggeri, Levermore) :

⇒ Polynôme ayant les moments souhaités : réalisable mais positivité non garantie

⇒ Minimiseur de l'entropie : exponentielle de polynôme : Positivité mais réalisabilité non garantie. Hyperbolicité.

$$\partial_t f + v \cdot \nabla_x f = \frac{1}{\varepsilon} Q(f)$$

⇒ Système à trois moments :

$$(\rho, \rho u, E) = \int f(t, x, v) (1, v, |v|^2/2)$$

$$\partial_t (\rho, \rho u, E) + \nabla_x \cdot \left(\rho u, \int f(t, x, v) v \otimes v dv, \int f(t, x, v) v |v|^2/2 dv \right) = 0.$$

Système **non fermé**, spécifier f en fonction de $(\rho, \rho u, E)$.

Fermeture = Fonction minimisant l'entropie à masse, impulsion et énergie fixés =

Maxwellienne $M_{\rho, u, T}$. **Système d'Euler**

⇒ Système de moments d'ordre supérieur (Ruggeri, Levermore) :

- ⇒ Polynôme ayant les moments souhaités : réalisable mais positivité non garantie
- ⇒ Minimiseur de l'entropie : exponentielle de polynôme : Positivité mais réalisabilité non garantie. Hyperbolicité.

$\varepsilon \rightarrow 0 \implies Q(f) \sim 0 \implies f \sim \text{Maxwellienne}$

⇒ $f = \text{Maxwellienne } M \text{ de paramètres } (\rho, \rho u, E)$. Système d'**Euler**

⇒ $f = M^\varepsilon + \varepsilon f_1$, Système de **Navier-Stokes** ou de **Burnett**.

$$\partial_t \begin{pmatrix} \rho \\ \rho u \\ E \end{pmatrix} + \nabla_x \cdot \begin{pmatrix} \rho u \\ \rho u \otimes u + pI \\ (E + p)u \end{pmatrix} = -\varepsilon \begin{pmatrix} 0 \\ \nabla_x \cdot \sigma \\ \nabla_x \cdot (\sigma u + q) \end{pmatrix}.$$

$$\mathbb{P} = pI + \sigma, \quad p = \rho T$$

$$\sigma = -\mu \left(\nabla_x u + (\nabla_x u)^T - \frac{2}{d} \nabla_x \cdot u I \right), \quad \mathbb{Q} = \varepsilon q = -\varepsilon \kappa \nabla_x T$$

➡ Schéma explicite en temps simple :

$$f_i^{n+1} = f_i^n - \frac{\Delta t}{\Delta x} \left[v^+ (f_i^n - f_{i-1}^n) + v^- (f_{i+1}^n - f_i^n) \right] + \frac{\Delta t}{\varepsilon} (M_i^n - f_i^n).$$

impose la contrainte $\Delta t = O(\varepsilon)$. Inutilisable en pratique.

➡ Schéma semi-implicite :

$$f_i^{n+1} = \frac{\varepsilon}{\varepsilon + \Delta t} f_i^n - \frac{\Delta t}{\Delta x} \frac{\varepsilon}{\varepsilon + \Delta t} \left[v^+ (f_i^n - f_{i-1}^n) + v^- (f_{i+1}^n - f_i^n) \right] + \frac{\Delta t}{\varepsilon + \Delta t} M_i^n.$$

Schéma stable dans la limite $\varepsilon \rightarrow 0$. Mais Schéma limite **non consistant** avec les équations d'Euler.

Splitting : Résoudre successivement sur $[t_n, t_{n+1}]$

$$\begin{aligned} \partial_t \tilde{f} + v \partial_x \tilde{f} &= 0 \quad , & \partial_t \bar{f} &= \frac{1}{\varepsilon} (M(\bar{U}) - \bar{f}) \quad , \\ \tilde{f}(t = t_n, x, v) &= f^n(x, v), & \bar{f}(t = t_n, x, v) &= \tilde{f}(t_{n+1}, x, v). \end{aligned}$$

Schéma de Coron et Perthame (1991) :

Phase transpot : Schéma décentré.

$$\frac{f_i^{n+\frac{1}{2}} - f_i^n}{\Delta t} + \frac{\Phi_{i+\frac{1}{2}}(f^n) - \Phi_{i-\frac{1}{2}}(f^n)}{\Delta x} = 0$$

avec $\Phi_{i+\frac{1}{2}}(g) = v^+ g_{i+\frac{1}{2}} + v^- g_{i+\frac{3}{2}}$

Phase collision : Résolution exacte

$$f_i^{n+1} = e^{-\frac{\Delta t}{\varepsilon}} f_i^{n+\frac{1}{2}} + (1 - e^{-\frac{\Delta t}{\varepsilon}}) M_i^{n+\frac{1}{2}}.$$

Limite Euler OK, Mais pas Navier-Stokes. Pas de terme polynômiale en ε .

- ➡ Résoudre l'étape par un simple schéma décentré :

$$\frac{f_i^{n+1} - f_i^{n+\frac{1}{2}}}{\Delta t} = \frac{1}{\varepsilon} (M_i^{n+\frac{1}{2}} - f_i^{n+1}).$$

- ➡ remplacer $e^{-\frac{\Delta t}{\varepsilon}}$ par $\frac{1}{1+\Delta t/\varepsilon}$.

- ➡ Schéma à deux pas consistant avec NS compressible.

$$\frac{U_i^{n+1} - U_i^n}{\Delta t} + \frac{F_{i+\frac{1}{2}}(U^n) - F_{i-\frac{1}{2}}(U^n)}{\Delta x} = \frac{\varepsilon}{\Delta x} \left[\left\langle m \left(\Phi_{i+\frac{1}{2}} \left(\frac{M^{n-1} - M^n}{\Delta t} \right) - \Phi_{i-\frac{1}{2}} \left(\frac{M^{n-1} - M^n}{\Delta t} \right) \right) \right\rangle - \frac{1}{\Delta x} \left\langle m \left((\Phi_{i+\frac{1}{2}} - \Phi_{i-\frac{1}{2}})^2 (M^{n-1}) \right) \right\rangle \right].$$

Equation de type Boltzmann, Schémas explicites et semi-implicites

11

$$\partial_t f = \frac{1}{\varepsilon} Q(f), \quad f^{n+1} - f^n = \frac{\Delta t}{\varepsilon} Q(f^n)$$

⇒ Opérateur de Boltzmann :

⇒ **Positivité** : $\Delta t = O(\varepsilon)$. Implication partielle :

$$f^{n+1} - f^n = \frac{\Delta t}{\varepsilon} (Q^+(f^n) - f^{n+1} L(f^n)),$$

$$f^{n+1} = \frac{1}{1 + \frac{\Delta t}{\varepsilon} L(f^n)} f^n + \frac{\frac{\Delta t}{\varepsilon}}{1 + \frac{\Delta t}{\varepsilon} L(f^n)} Q^+(f^n).$$

⇒ **Inconsistance** avec la mécanique des fluides quand $\varepsilon \rightarrow 0$.

⇒ Opérateur diffusif en vitesse (FPL) :

⇒ **Positivité** sous contrainte CFL diffusive : $\Delta t \leq C \Delta v^2$. Coût global très élevé : $O(N^3)$ en isotrope.

⇒ **Inconsistance** avec la mécanique des fluides.

Eq. de Boltzmann : Sommes de Wild et consistance Euler₂

Gabetta, Pareschi, Toscani, Russo (1997). Caflish, Pareschi, Jin, ...

Basée sur le fait que l'opérateur de Boltzmann est la somme d'une partie positive et d'une partie négative.

$$Q(f, f) = Q^+(f, f) - Q^-(f, f)$$

Cas particulier des molécules maxwelliennes : $Q^-(f, f) = \mu f$.

$$f(t, v) = e^{-\mu t/\varepsilon} \sum_{k=0}^{\infty} (1 - e^{-\mu t/\varepsilon})^k f_k(v)$$

$$f_{k+1}(v) = \frac{1}{k+1} \sum_{l=0}^k \frac{1}{\mu} Q^+(f_l, f_{k-l}).$$

Etant donné $f^n(v)$ correspondant à l'instant $t_n = n\Delta t$,

$$f^{n+1}(v) = e^{-\mu\Delta t/\varepsilon} \sum_{k=0}^m (1 - e^{-\mu\Delta t/\varepsilon})^k f_k^n(v) + (1 - \exp(-\mu\Delta t/\varepsilon))^{m+1} M(v).$$

M est la maxwellienne associée à f^n .

⇒ Positivité $\forall \varepsilon, \Delta t$.

⇒ Quand $\varepsilon \rightarrow 0$, f^{n+1} tend vers la Maxwellienne $M(v)$.

⇒ Schéma d'ordre m .

Ne marche pas pour FPL. Pas de partie positive ayant la même structure.

Pour FPL, 2 problèmes :

1- *Coût de calcul induit par la condition CFL diffusive*

2- *Consistance avec la mécanique des fluides*

Equation de type Boltzmann :

$$\partial_t f + v \cdot \nabla_x f = \frac{1}{\varepsilon} Q(f, f)$$

Décomposition micro/macro :

$$f = M[f] + \varepsilon g, \quad \mathcal{L}_M g = 2Q(M, g)$$

$$\partial_t M + v \cdot \nabla_x M + \varepsilon(\partial_t g + v \cdot \nabla_x g) = \mathcal{L}_M g + \varepsilon Q(g, g).$$

Π_M = Projection orthogonale dans $L^2(1/M)$ sur

$$N(\mathcal{L}_M) = \text{Span}\{M, vM, |v|^2 M\}$$

Appliquer Π puis $I - \Pi$:

$$\partial_t \langle m(v)M \rangle + \nabla_x \cdot \langle vm(v)M \rangle + \varepsilon \nabla_x \cdot \langle vm(v)g \rangle,$$

$$\partial_t g + (I - \Pi_M)(v \cdot \nabla_x g) - Q(g, g) = \frac{1}{\varepsilon} [\mathcal{L}_M g - (I - \Pi_M)(v \cdot \nabla_x M)].$$

Asymptotique Navier-Stokes

⇒ $\varepsilon \rightarrow 0$:

$$g \sim \mathcal{L}_M^{-1} \left((I - \Pi_M)(v \cdot \nabla_x M) \right)$$

⇒ Système de Navier-Stokes :

$$\partial_t U + \nabla_x \cdot F(U) = -\varepsilon \begin{pmatrix} 0 \\ \nabla_x \cdot \sigma \\ \nabla_x \cdot (\sigma u + q) \end{pmatrix} + O(\varepsilon^2).$$

$$\sigma = -\mu \left(\nabla_x u + (\nabla_x u)^T - \frac{2}{d} \nabla_x \cdot u I \right), \quad q = -\kappa \nabla_x T.$$

- ➡ Mimer numériquement la procédure continue, Terme raide **semi-implicite** dans l'équation en g

$$\frac{g^{n+1} - g^n}{\Delta t} + (I - \Pi_{M^n})(v \cdot \nabla_x g^n) - Q(g^n, g^n) = \frac{1}{\varepsilon} \left[\mathcal{L}_{M^n} g^{n+1} - (I - \Pi_{M^n})(v \cdot \nabla_x M^n) \right].$$

- ➡ Limite macro :

$$g^{n+1} = \mathcal{L}_{M^n}^{-1} \left[(I - \Pi_{M^n})(v \cdot \nabla_x M^n) \right] + O(\varepsilon)$$

- ➡ Equation en $U = \int f(1, v, |v|^2)$:

$$\frac{U^{n+1} - U^n}{\Delta t} + \nabla_x \cdot F(U^n) + \varepsilon \nabla_x \cdot \langle v m g^{n+1} \rangle = 0.$$

- Stabilité des schémas transport : Décentrement pour le transport en g : Terme $(I - \Pi_{M^n})(v \cdot \nabla_x g^n)$.
- Discrétisation de Π ?
- Centrer le terme $(I - \Pi_{M^n})(v \cdot \nabla_x M^n)$: Terme source.
- Schéma limite avec des discrétisations adéquates pour la diffusion : utilisant $i, i + 1, i - 1$. Utilisation de deux grilles décalés : x_i pour U et $x_{i+1/2}$ pour g .

$$\begin{aligned}
& \frac{g_{i+\frac{1}{2}}^{n+1} - g_{i+\frac{1}{2}}^n}{\Delta t} + (I - \Pi_{i+\frac{1}{2}}^n) \left[v^+ \frac{g_{i+\frac{1}{2}}^n - g_{i-\frac{1}{2}}^n}{\Delta x} + v^- \frac{g_{i+\frac{3}{2}}^n - g_{i+\frac{1}{2}}^n}{\Delta x} \right] \\
&= -\frac{1}{\varepsilon} \left[g_{i+\frac{1}{2}}^{n+1} + (I - \Pi_{i+\frac{1}{2}}^n) \left(v \frac{M_{i+1}^n - M_i^n}{\Delta x} \right) \right],
\end{aligned} \tag{1}$$

$$\frac{U_i^{n+1} - U_i^n}{\Delta t} + \frac{F_{i+\frac{1}{2}}(U^n) - F_{i-\frac{1}{2}}(U^n)}{\Delta x} + \varepsilon \left\langle vm \frac{g_{i+\frac{1}{2}}^{n+1} - g_{i-\frac{1}{2}}^{n+1}}{\Delta x} \right\rangle = 0,$$

avec

$$\Pi_{i+\frac{1}{2}} = \frac{\Pi(U_i) + \Pi(U_{i+1})}{2}$$

$$\frac{U_i^{n+1} - U_i^n}{\Delta t} + \frac{F_{i+\frac{1}{2}}(U^n) - F_{i-\frac{1}{2}}(U^n)}{\Delta x} \\ = \frac{\varepsilon}{\Delta x} \left\langle vm \left[(I - \Pi_{i+\frac{1}{2}}^n) \left(v \frac{M_{i+1}^n - M_i^n}{\Delta x} \right) - (I - \Pi_{i-\frac{1}{2}}^n) \left(v \frac{M_i^n - M_{i-1}^n}{\Delta x} \right) \right] \right\rangle ,$$

- ➡ Consistant avec Navier-Stokes
- ➡ Diffusion : Approchée à l'ordre 2 en Δx .

Inconnues : $M(t, x)$, $g(t, x, v)$:

$$\begin{cases} \partial_t M + \left(\sum_{k=0}^p \varepsilon^k \Pi(v \cdot \nabla_x f_k) \right) + \varepsilon^{p+1} \Pi(v \cdot \nabla_x g) = 0, \\ \partial_t g + (I - \Pi)(v \cdot \nabla_x g) = \frac{1}{\varepsilon} (g - f_{p+1}) = 0. \end{cases}$$

$$f_k = (-1)^k [(I - \Pi)(\partial_t + v \cdot \nabla_x)]^k M,$$

Reconstruction de f :

$$f = \left(\sum_{k=0}^p \varepsilon^k f_k \right) + \varepsilon^{p+1} g.$$

Schéma semi-implicite donne la consistance avec les équations de fluides d'ordre supérieurs.

$$\partial_t f + \frac{1}{\varepsilon} v \partial_x f = \frac{1}{\varepsilon^2} (\rho[f] - f), \quad x \in \mathbb{R}, \quad v \in [-1, 1].$$

$$\rho[f] = \rho(t, x) = \langle f \rangle = \frac{1}{2} \int_{-1}^1 f dv.$$

⇒ limite de diffusion :

$$\partial_t \rho = \frac{1}{3} \partial_x^2 \rho.$$

⇒ Formulation Micro/macro : $f = \rho + \varepsilon g$, $\Pi h = \langle h \rangle = \frac{1}{2} \int_{-1}^1 h dv$.

$$\partial_t \rho + \partial_x \langle v g \rangle = 0,$$

$$\partial_t g + \frac{1}{\varepsilon} (I - \Pi)(v \partial_x g) = -\frac{1}{\varepsilon^2} (g + v \partial_x \rho).$$

- Impliciter uniquement le terme en $\frac{1}{\varepsilon^2}$: Stabilité confirmée par les tests numériques dans tous les cas.

Preuve rigoureuse dans les cas simples avec la CFL :

$$\Delta t \leq \frac{1}{2} \left(\frac{\Delta x^2}{2} + \varepsilon \Delta x \right).$$

- Compraison avec les schémas de Klar (1998), Jin, Pareschi, Toscani (1998) : Globalement comparables. Mais, ici, la stratégie est **générale**.
- Différentes conditions de bord en x .

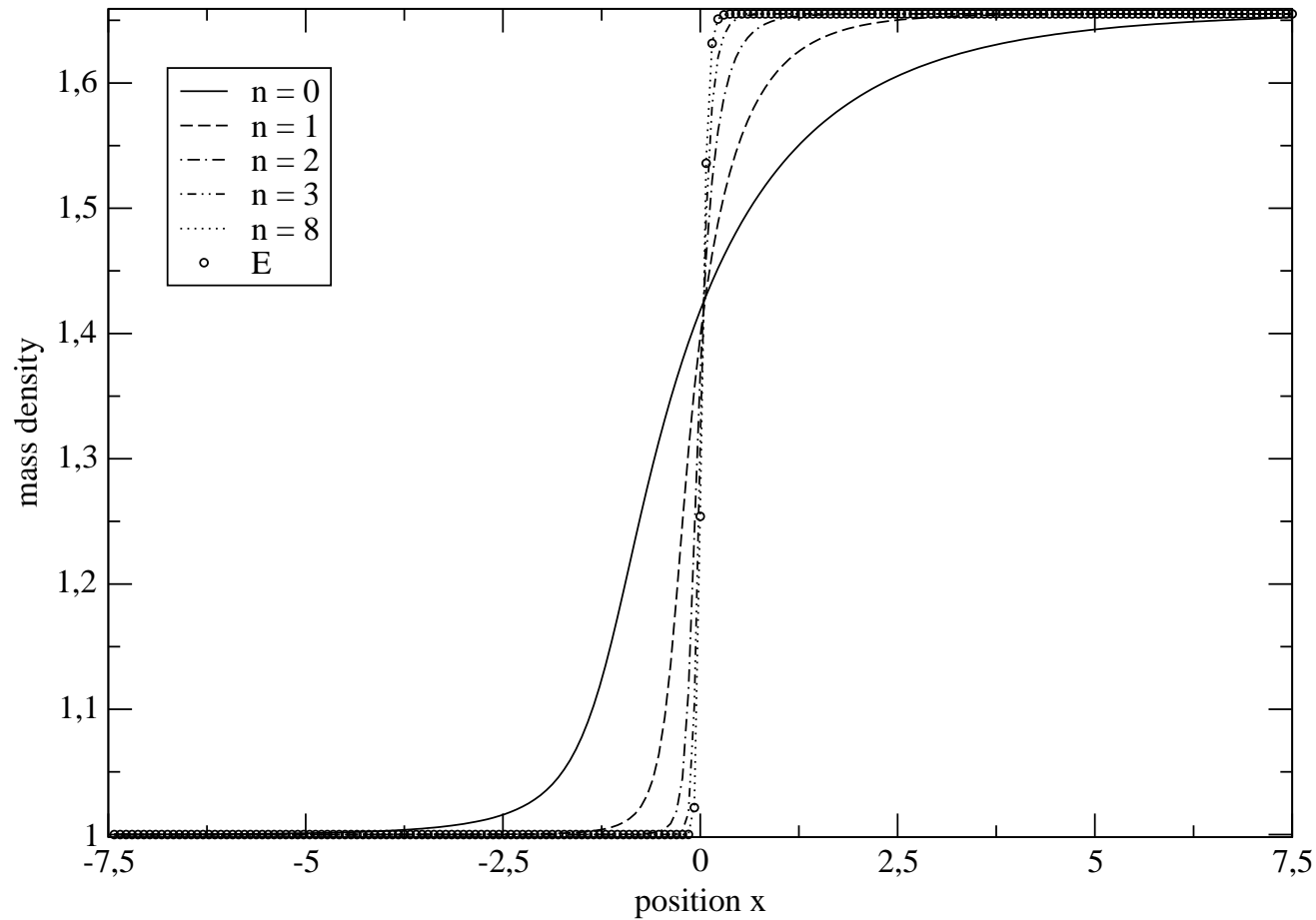


FIG. 1: Stationary shock : mass density as a function of the position $x \in [-7.5, 7.5]$ given by scheme (AP). Profiles of ρ for different values of $\varepsilon_n = 3^{-n}$ for rarefied regime ($\varepsilon_0 = 1, \varepsilon_1 = 0.333, \varepsilon_2 = 0.11$), intermediate regime ($\varepsilon_3 = 3.7 \times 10^{-2}$) and fluid regime ($\varepsilon_8 = 1.52 \times 10^{-4}$). The result of scheme (E) is also shown.

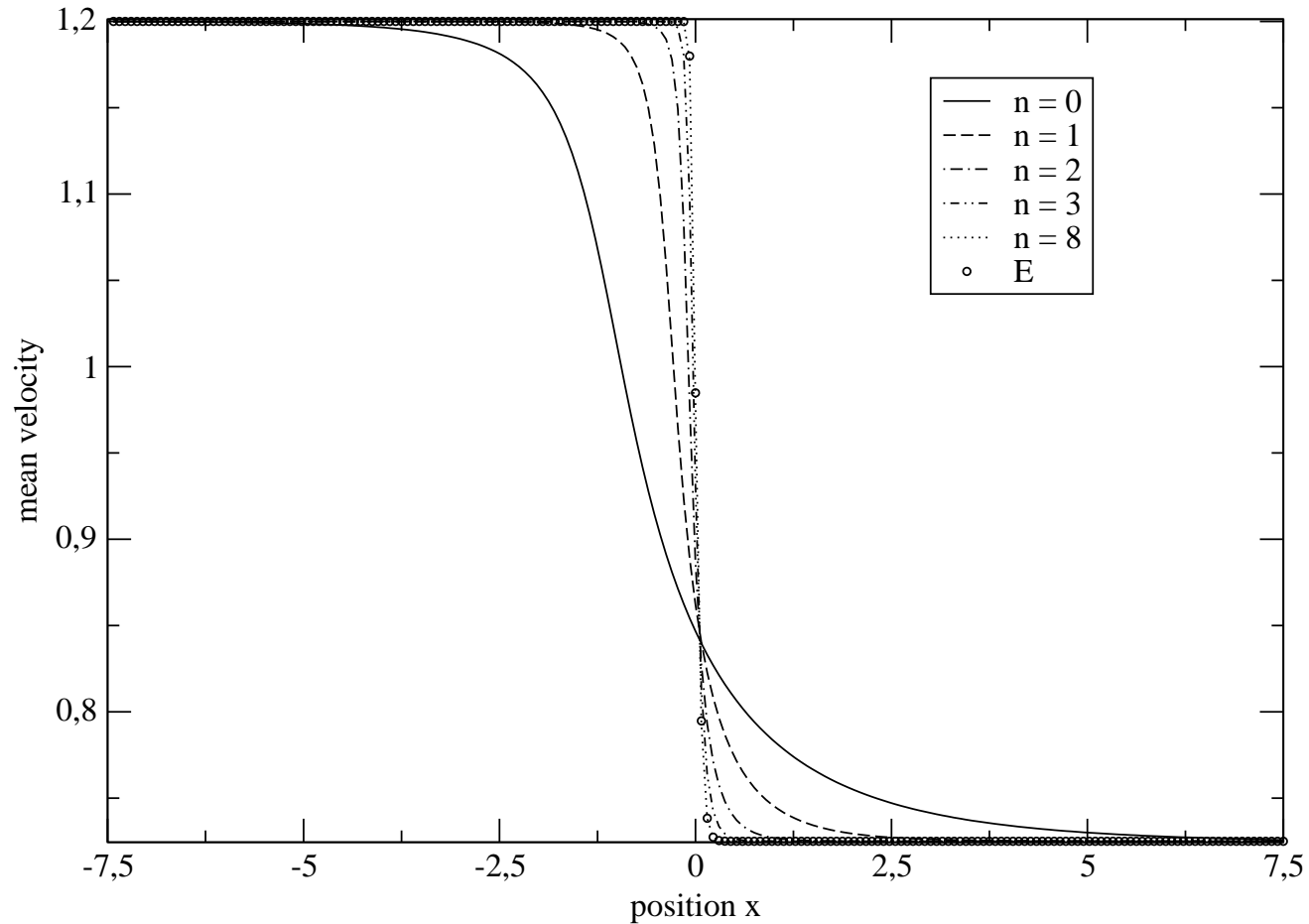


FIG. 2: Stationary shock : mean velocity as a function of the position $x \in [-7.5, 7.5]$ given by scheme (AP). Profiles of u for different values of $\varepsilon_n = 3^{-n}$ for rarefied regime ($\varepsilon_0 = 1, \varepsilon_1 = 0.333, \varepsilon_2 = 0.11$), intermediate regime ($\varepsilon_3 = 3.7 \times 10^{-2}$) and fluid regime ($\varepsilon_8 = 1.52 \times 10^{-4}$). The result of scheme (E) is also shown.

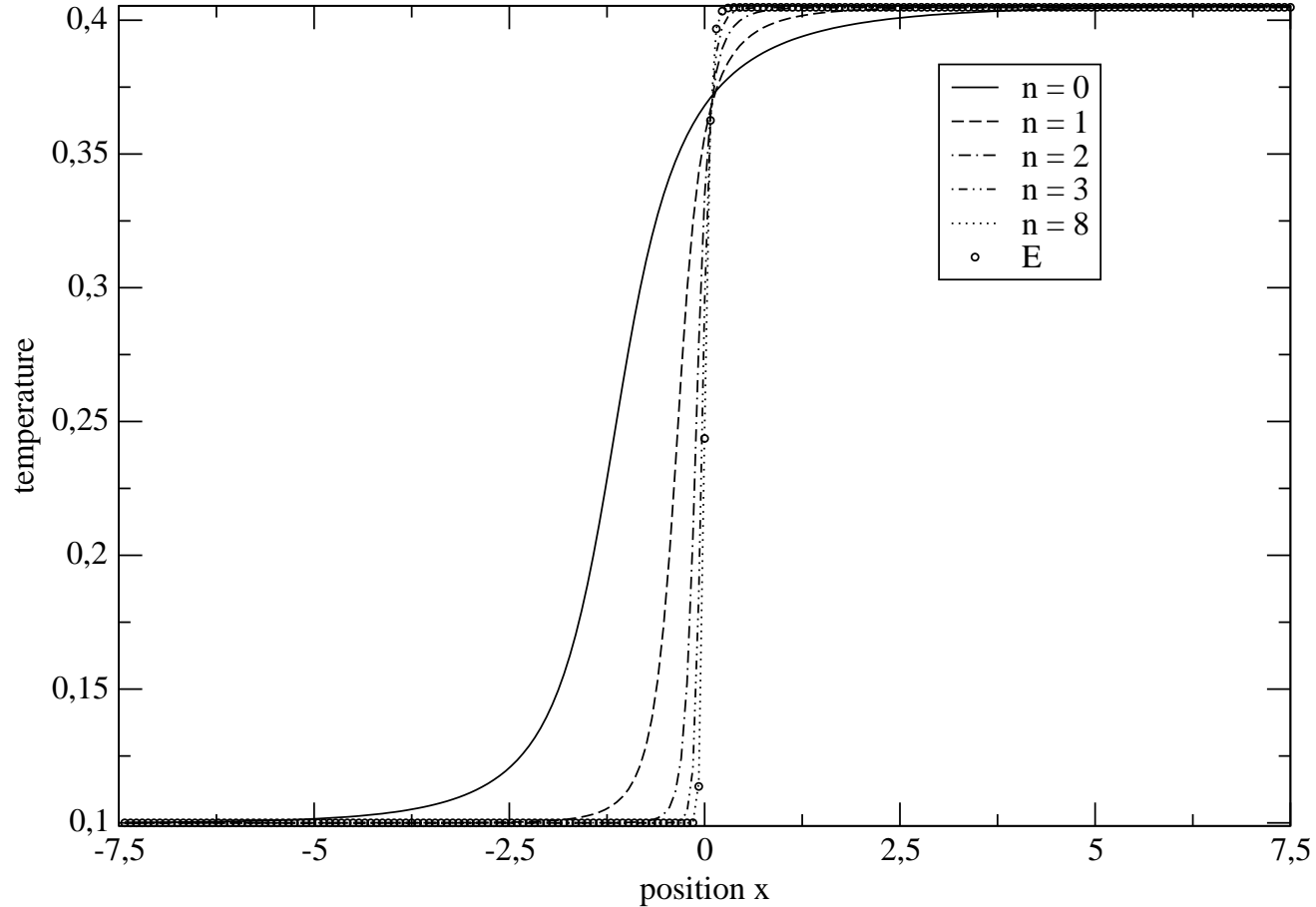


FIG. 3: Stationary shock : temperature as a function of the position $x \in [-7.5, 7.5]$ given by scheme (AP). Profiles of T for different values of $\varepsilon_n = 3^{-n}$ for rarefied regime ($\varepsilon_0 = 1, \varepsilon_1 = 0.333, \varepsilon_2 = 0.11$), intermediate regime ($\varepsilon_3 = 3.7 \times 10^{-2}$) and fluid regime ($\varepsilon_8 = 1.52 \times 10^{-4}$). The result of scheme (E) is also shown.

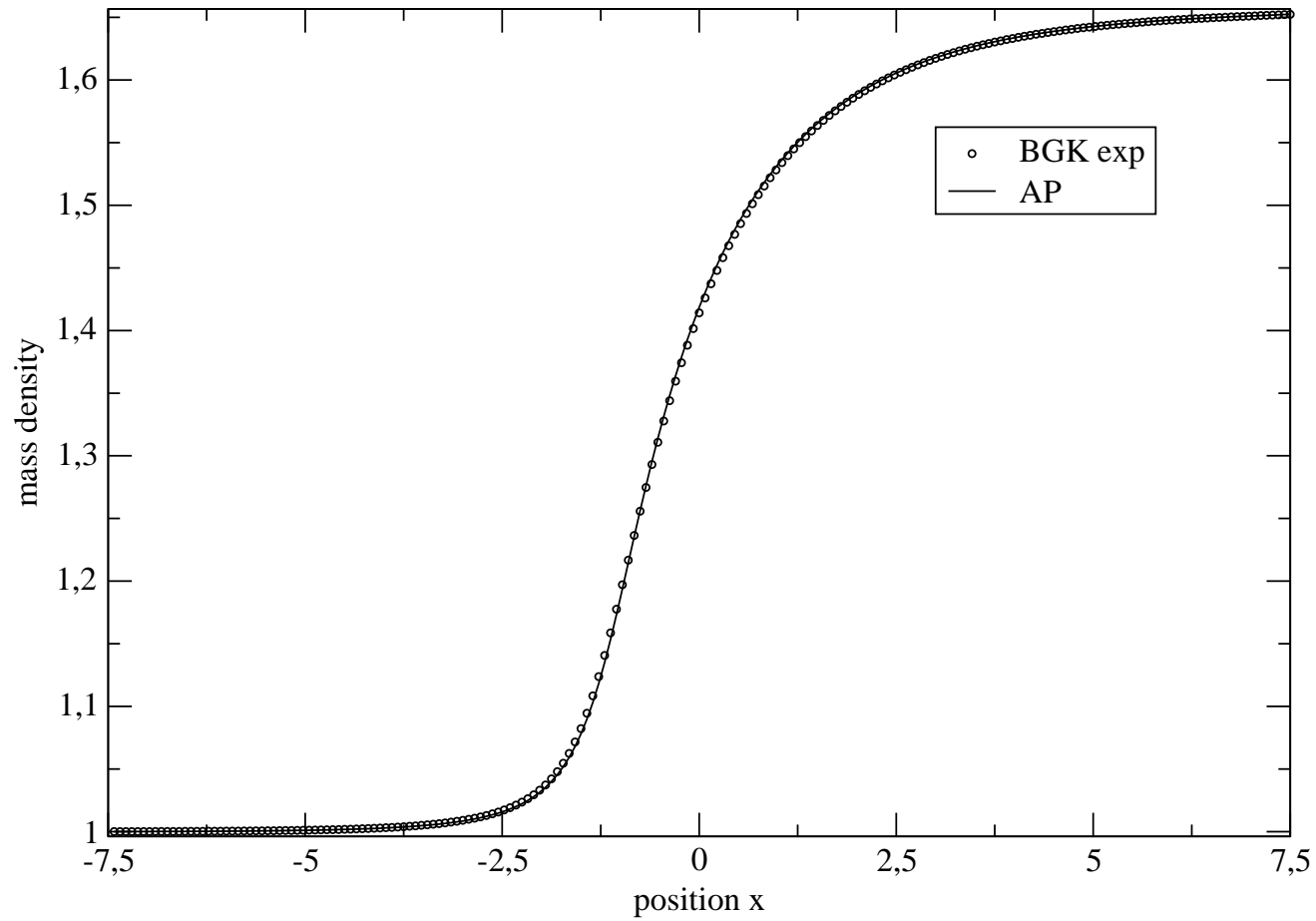


FIG. 4: Stationary shock : mass density as a function of the position $x \in [-7.5, 7.5]$ for $\varepsilon = 1$ (rarefied regime) obtained by schemes (*BGK exp*), and (*AP*).

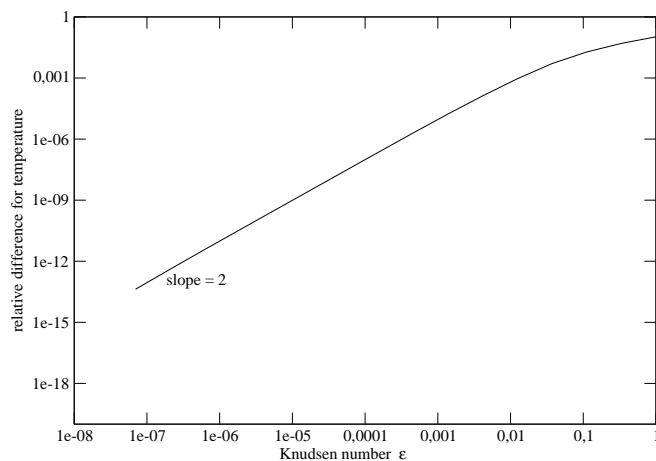
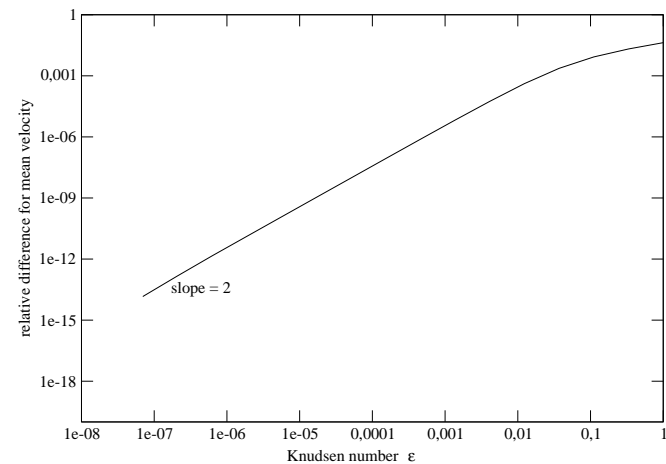
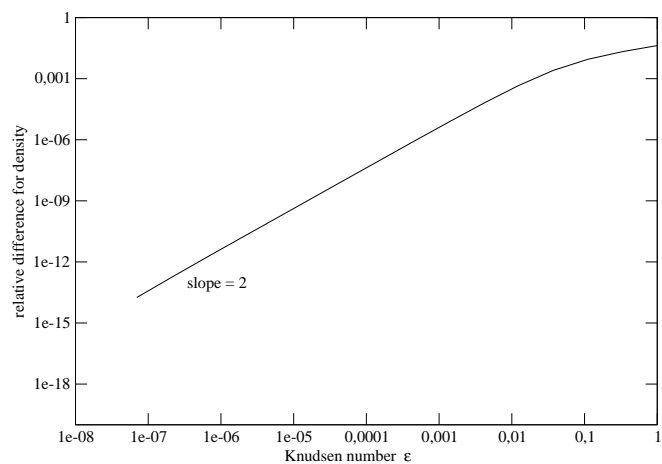


FIG. 5: Stationary shock : relative differences (in log scale) between the densities (top left), the velocities (top right), and the temperatures (bottom), obtained with schemes (AP) and ($AP1$). Different values are considered : $\varepsilon_n = 3^{-n}$, $n \geq 0$.

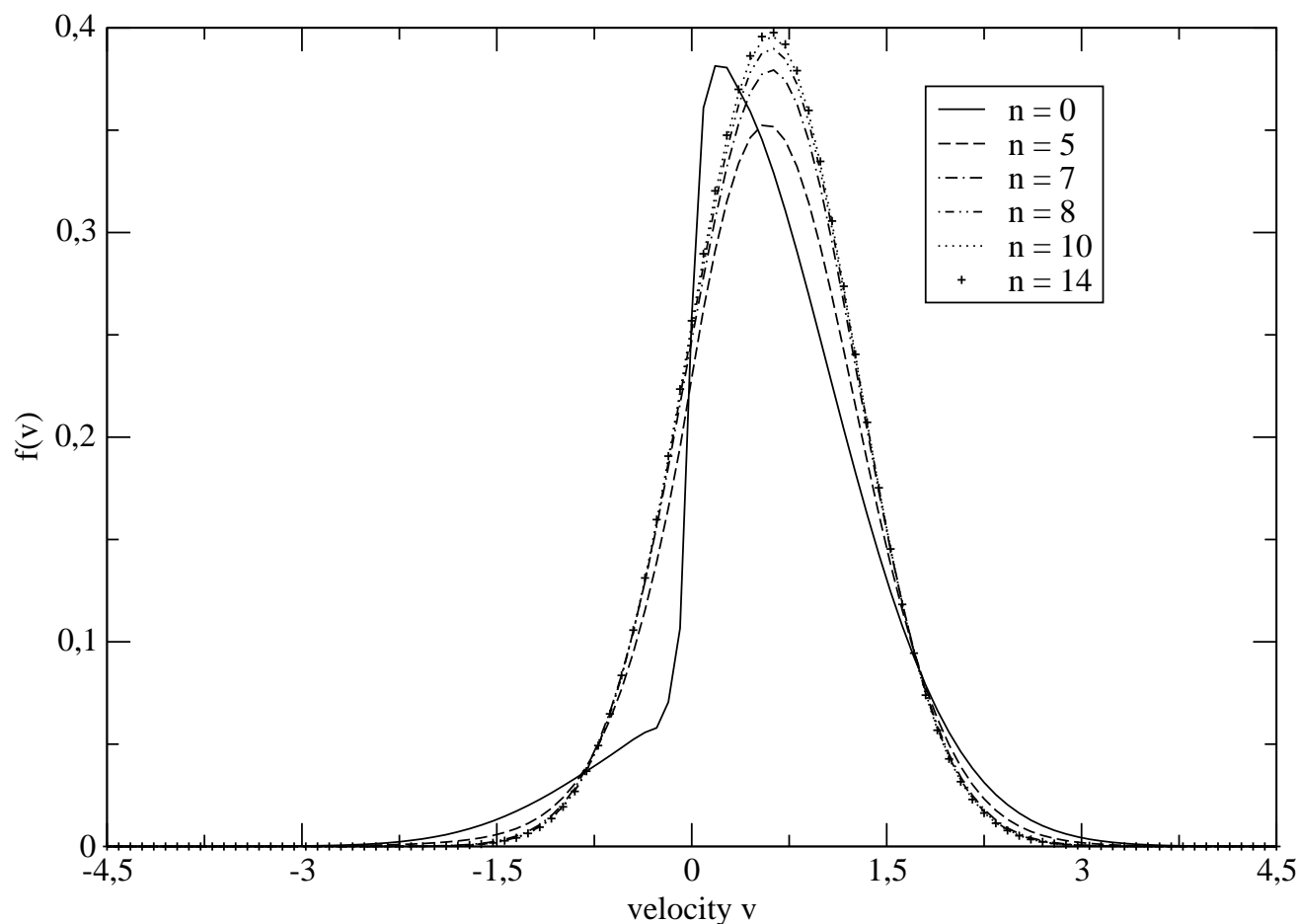


FIG. 6: Sod problem : distribution function f at point $x = 0.5$ as a function of the velocity $v \in [-4.5, 4.5]$ given by scheme (AP) at time $t = 0.14$. Profiles of f for different values of $\varepsilon_n = 2^{-n}$ in rarefied regime ($\varepsilon_0 = 1, \varepsilon_5 = 3.125 \times 10^{-2}$), transition regime ($\varepsilon_8 = 3.90 \times 10^{-3}$) and fluid regime ($\varepsilon_{10} = 9.7 \times 10^{-4}, \varepsilon_{14} = 6.10 \times 10^{-5}$) where f becomes close to a Maxwellian.

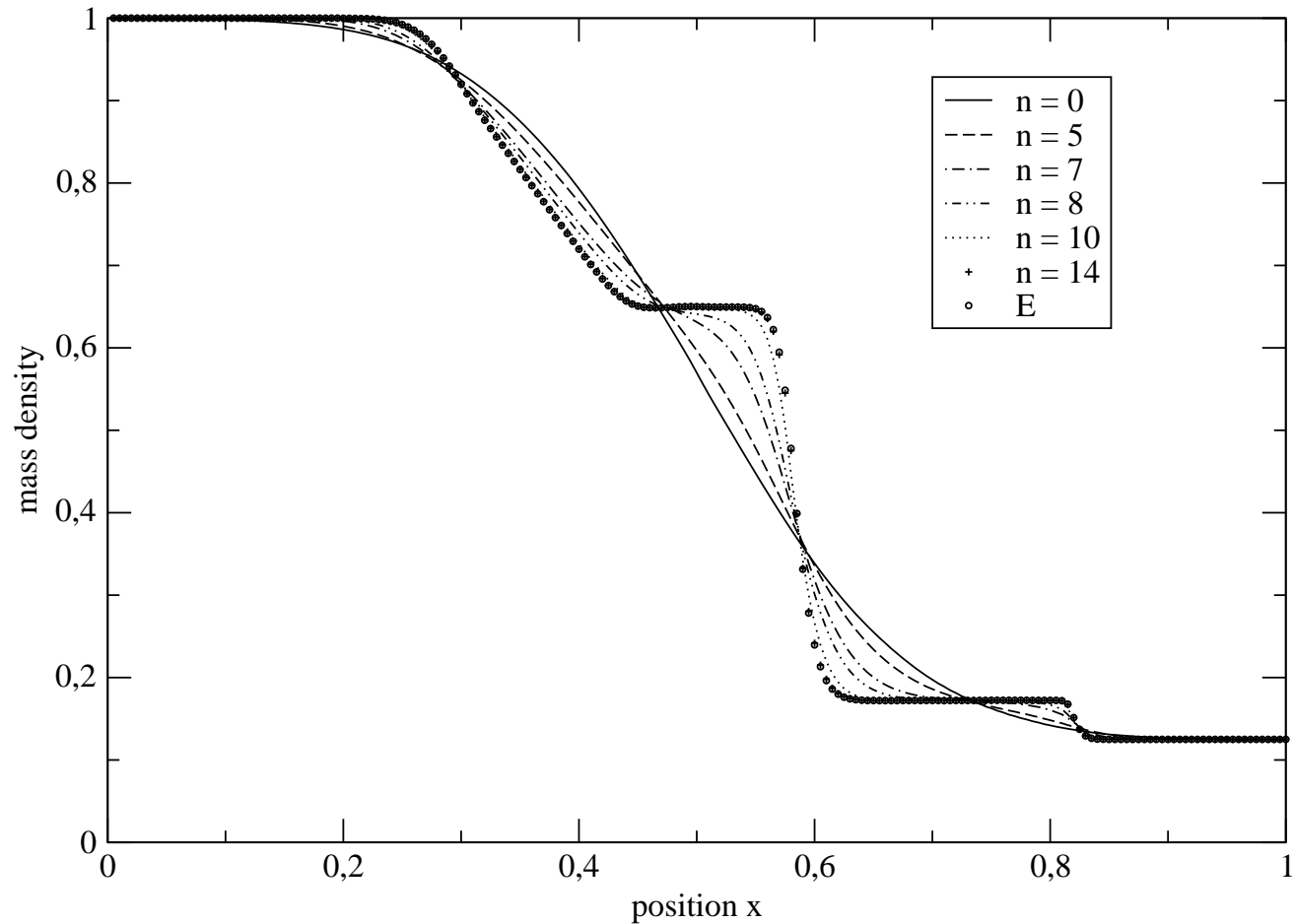


FIG. 7: Sod problem : mass density as a function of $x \in [0, 1]$ at time $t = 0.14$, given by scheme (AP). Profiles for different values of $\varepsilon_n = 2^{-n}$ for rarefied regime ($\varepsilon_0 = 1, \varepsilon_5 = 3.125 \times 10^{-2}$), transition regime ($\varepsilon_8 = 3.90 \times 10^{-3}$) and fluid regime ($\varepsilon_{10} = 9.7 \times 10^{-4}, \varepsilon_{14} = 6.10 \times 10^{-5}$). The result of scheme (E) is also shown.

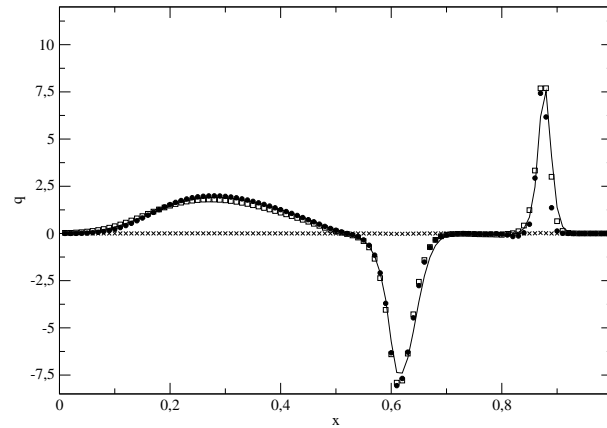
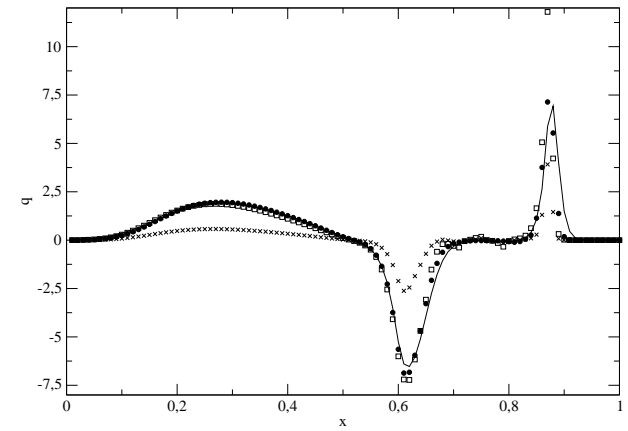
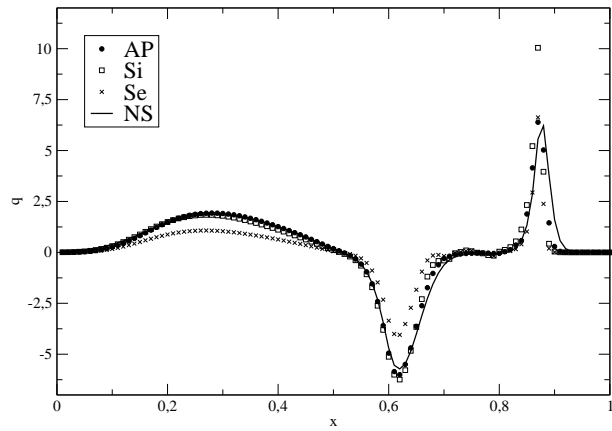


FIG. 8: Sod problem : heat flux scaled by ε as a function of $x \in [0, 1]$ for schemes (AP), (S_i) (that preserve CNS asymptotics), for scheme (NS) and for scheme (S_e). Time $t = 0.16$, and $\varepsilon = 2^{-9} \approx 2 \times 10^{-3}$ (top), $\varepsilon = 2^{-10} \approx 10^{-3}$ (middle) and $\varepsilon = 2^{-12} \approx 2 \times 10^{-4}$ (bottom).

- Implémentation avec l'opérateur de Boltzmann complet et comparaison avec les sommes de Wild. Algorithmes rapides d'inversion.
- Modifier les sommes de Wild pour avoir l'asymptotique NS ?
- Traitement des couches limites en espace ?

$$f = M + \phi \left(t, \frac{x}{\varepsilon}, v \right) + \varepsilon g.$$